



مقاله پژوهشی



## شناسایی ساختار رنگ سفالینه‌های دوره مفرغ متأخر شرق

### دریاچه ارومیه؛ بر مبنای نمونه‌های کؤل تپه عجب شیر

ام البنین راستینه<sup>۱</sup>، مسعود باقرزاده کثیری<sup>۲\*</sup>، بهرام آجورلو<sup>۳</sup>، قادر ابراهیمی<sup>۴</sup>

۱. کارشناس ارشد باستان‌شنی، دانشگاه هنر اسلامی تبریز، تبریز، ایران

۲. دانشیار، مرکز تحقیقات مرمت بنا و بافت‌های تاریخی، دانشگاه هنر اسلامی تبریز، تبریز، ایران

۳. دانشیار، دانشکده هنرهای کاربردی، دانشگاه هنر اسلامی تبریز، تبریز، ایران

۴. دانشجوی دکتری باستان‌شناسی، دانشگاه محقق اردبیلی، اردبیل، ایران

تاریخ پذیرش: ۱۳۹۵/۵/۲۰

تاریخ دریافت: ۱۳۹۵/۱۰/۲۲

#### چکیده

یکی از جنبه‌های مطالعاتی بر روی سفال و سفالگری دوره باستان، مطالعه و شناسایی مواد و ترکیبات رنگی به کاررفته در تزئینات سفالینه‌ها است. بنابراین هدف از پژوهش حاضر شناسایی پایه و ترکیب شیمیایی رنگ‌های مورد استفاده در تزئین پنج نمونه از سفالینه‌های منقوش دوره مفرغ متأخر شرق دریاچه ارومیه (نمونه‌های موردنی کؤل تپه عجب شیر) از طریق مطالعات آزمایشگاهی است. جهت تعیین ساختار رنگ‌ها و نیز شناسایی آنیون‌ها و کاتیون‌های موجود در آن‌ها، از طیف‌ستجی مادون‌قرمز تبدیل فوریه (-FR) استفاده شد و مشخص گردید که منشأ رنگ‌ها معدنی و ترکیبی از اکسیدهای آهن است. به منظور آنالیز عنصری نمونه رنگ‌ها و بررسی ساختار و ترکیب شیمیایی آن‌ها از میکروسکوپ الکترونی روبشی مجهز به طیف‌ستجی پراش انرژی پرتوایکس (SEM-EDX) استفاده گردید که حضور عنصر آهن را در کنار دیگر عناصر تشکیل‌دهنده بدنه سفال نشان داد. در حالی که نتایج با تابع FR-IR همخوانی داشتند در نهایت به منظور تأیید و تکمیل داده‌ها، نمونه‌ها با روش پراش پرتوایکس (XRD) مورد مطالعه طیف‌های FT-IR قرار گرفتند که نتایج به دست آمده حاکی از آن است که رنگدانه‌های به کاررفته در تزئین سفالینه‌ها، معدنی و ترکیبی از آهن (اوژیت) بوده و از آنجاکه در اطراف دریاچه ارومیه کانه‌های آهن وجود دارند بنابراین می‌توان گفت که برای ساخت رنگ از محیط اطراف خود استفاده می‌نموده‌اند.

**واژگان کلیدی:** رنگدانه‌های آهن‌دار، سفال منقوش، کؤل تپه، دوره مفرغ، XRD، SEM-EDX، FT-IR

\* مسئول مکاتبات: تبریز، خیابان آزادی، میدان حکیم نظامی، دانشگاه هنر اسلامی تبریز، دانشکده هنرهای کاربردی، کد پستی: ۵۱۶۴۷۳۶۹۳۱  
پست الکترونیکی: m.kasiri@tabriziau.ac.ir

CC حق نشر متعلق به نویسنده(گان) است و نویسنده تحت مجوز Creative Commons Attribution License به مجله اجازه می‌دهد مقاله چاپ شود.  
را با دیگران به اشتراک بگذارد منوط بر اینکه حقوق مؤلف اثر حفظ و به انتشار اولیه مقاله در این مجله اشاره شود.

EDX و FT-IR استفاده کردند و نتایج حاصل از مطالعات آن‌ها نشان می‌دهد که رنگدانه‌های زرد، قرمز و قهوه‌ای به کاررفته در تزئینات، ترکیبی از اکسیدهای آهن (به ترتیب لیمونیت و هماتیت) است<sup>[4]</sup>. در ایران شروع فرهنگ‌های سفالی منقوش از دوره نوسنگی تا دوران تاریخی را شامل می‌شود<sup>[5]</sup>، با این حال بیشتر به مطالعه رنگدانه‌های نقاشی‌های دیواری پرداخته شده است، به عنوان نمونه، می‌توان به شناسایی رنگدانه‌های دیوارنگاره «تل مش کریم» سمیرم، مربوط به دوره مس و سنگ ایران که توسط هرندی و همکارانش انجام شد اشاره نمود که با استفاده از روش‌های دستگاهی XRD، SEM-EDX، FT-IR و میکروسکوپ نوری به شناسایی رنگدانه‌ها پرداختند و مشخص شد که برای ایجاد رنگ قرمز از رنگدانه اخرا، رنگ سفید از آهک و رنگ سیاه از دوده زغال‌سنگ استفاده شده است<sup>[6]</sup>.

پژوهش حاضر سعی بر شناسایی پایه و ساختار شیمیایی رنگ‌های مورد استفاده در تزئین سفالینه‌های عصر مفرغ جدید در منطقه شرق دریاچه ارومیه دارد و با توجه به پایداری رنگ‌ها امکان و فرض بر اینکه مواد رنگی و ترکیبات رنگ‌زای به کاررفته در سفالینه‌های این دوره حاصل ترکیبات مواد معدنی هستند را مورد بررسی و آنالیزهای دقیق و آزمایشگاهی قرار می‌دهد. بنابراین برای این منظور، ۵ نمونه از سفالینه‌های نخدوی منقوش حاصل از بررسی‌های سطح‌الارضی محوطه کوئل تپه عجب‌شیر در سال ۱۳۹۱ انتخاب و مورد بررسی آزمایشگاهی قرار گرفتند. لازم به ذکر است که این نمونه‌ها مربوط به فرهنگ سفالی ارومیه است و طبق گاهنگاری‌های ارائه شده، این فرهنگ سفالی یکی از فرهنگ‌های شاخص در دوره مفرغ متأخر (میانی و جدید) شمال غرب ایران محسوب می‌شود<sup>[7]</sup> که طبق بررسی‌های ادواردز این فرهنگ سفالی برای اولین بار از هفتون VIB به دست آمده است<sup>[8]</sup>. وجود سفال‌های تکرنگ و چندرنگ یکی از ویژگی‌های شاخص این فرهنگ بوده<sup>[9]</sup>، و طبق گفته‌ی حسن طلایی جهت تزئین سفالینه‌های این فرهنگ، از عناصر نقشی نظریر نوارهای قرمزنگ، طرح‌های شطرنجی، هاشورهای متقطع، خطوط و زیگزاگ‌ها و غیره استفاده شده که با

## ۱. مقدمه

جهت تبیین و تحلیل دوره‌های مفرغ، از اصطلاح «فرهنگ کورا- ارس» برای دوره مفرغ قدیم که از اواخر هزاره چهارم ق.م شروع شده و تا اوایل هزاره دوم ق.م، ادامه یافت و دوره مفرغ پایانی (اواسط هزاره دوم ق.م)، موسوم به سنت سفالگری ارومیه که دارای سفال‌های نخدوی منقوش دو رنگ و چند رنگ است، استفاده می‌شود. در دوره مفرغ پایانی برای اولین بار سفالینه‌های منقوش چندرنگ از تپه VIB هفتون تپه بدست آمده است که بومی بودن منشأ آن‌ها تایید می‌شود. تفاوت مفرغ قدیم کورا- ارس و مفرغ جدید نوع ارومیه و سفالگری آن‌ها باعث شده که در مفرغ جدید سفال نخدوی منقوش جانشین نوع خاکستری سیاه کورا- ارس شود. محوطه باستانی کوئل تپه عجب‌شیر در شرق دریاچه ارومیه واقع شده است که برخی سفال‌های بدست آمده از حفاری‌های سطح‌الارضی این منطقه دارای نقوش و طرح‌های رنگی می‌باشد، این رنگ‌ها از لحاظ ساختار شیمیایی و منشأ تولید تاکنون مورد مطالعه قرار نگرفته‌اند.

تجزیه و تحلیل رنگ و رنگدانه‌ها از جنبه‌های قابل توجه در مطالعات باستان‌شناسی و تاریخ هنر به شمار می‌رود که علاوه بر جنبه‌های پژوهشی آن به درک فرآیندهای تخریب و توسعه روش‌های حفاظت کمک می‌کند<sup>[1-3]</sup>. معمولاً رنگدانه‌های باستانی به‌طور خالص یافتنی شوند بلکه مخلوط و بر روی یک سطح (سفال، دیوار، چرم، دیواره غارها) اعمال شده‌اند که جهت تجزیه و تحلیل آن‌ها به‌طور گستردۀ از روش‌های آنالیز غیر مخبر اشعه X مانند میکروسکوپ الکترونی روبشی مجهز به طیف‌سنجی پراش انرژی پرتوایکس (SEM-EDX) و پراش پرتوایکس (XRD) استفاده می‌شود و استفاده از این روش‌های آنالیز و پیشرفت آن در زمینه علم مواد، امکان مطالعه اشیاء و به دست آوردن اطلاعاتی در مورد ترکیب اشیاء و چگونگی ساخت را برای مورخان و باستان‌شناسان فراهم می‌سازد<sup>[2]</sup>.

مازوجین و همکاران جهت بررسی ماهیت رنگدانه‌های به کاررفته در تزئین قطعات سفالی یافته شده از حفاری‌های باستان‌شناسی یک ویلای رومی در ویچنزا (Vicenza)، از روش‌های دستگاهی نظریر SEM-XRD،

آذربایجان شرقی واقع شده است و برای اولین بار در سال ۱۹۷۷م. توسط حسن طلابی مورد بررسی باستان‌شناسی قرار گرفت [9]. درباره‌ی ویژگی‌های ظاهری نمونه‌های مورد مطالعه باید اشاره شود که این ظروف چرخ‌ساز بوده و عناصر نقشی آن‌ها شامل هاشورهای مقاطع، طرح‌های شطرنجی و نقوش پرنده‌گان است (شکل ۱-۱؛ Fig; 1-1، جدول ۱ و ۲-۲؛ Table 1, 2) (Table 1, 2).

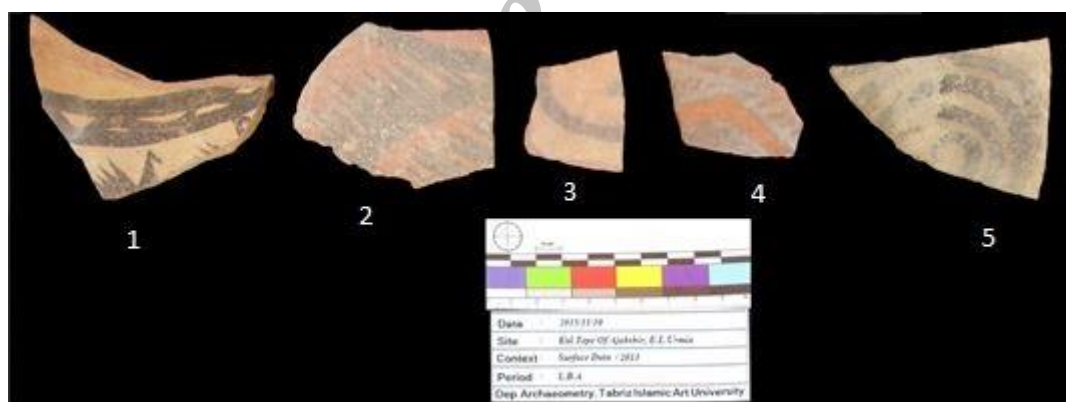
جهت بررسی ویژگی‌های ظاهری رنگدانه‌ها از میکروسکوپ پلاریزان Olympus BX51 استفاده شد. برای این کار از سطح رنگدانه‌ها به صورت عبوری عکاسی شد که برای آماده‌سازی عکاسی نوری عبوری، بعد از جداسازی رنگدانه از بدنه، نمونه پودری رنگدانه روی لام قرار گرفته و عکاسی به عمل آمد (جدول ۳). (Table 3)

جهت شناسایی رنگدانه‌های به کاررفته در نقوش سفال‌ها، در ابتدا از آزمایش‌های تجزیه کیفی شیمی کالاسیک استفاده شد. این روش همان آنالیز ساده

رنگ‌های سیاه، قهوه‌ای، قرمز و در مواردی نارنجی نقش اندازی شده است [5]، در حالی که بر اساس مطالعات و مرور منابع علمی صورت گرفته توسط نویسنده‌گان، در رابطه با پایه و ترکیب شیمیایی رنگ‌های به کاررفته در تزئین سفالینه‌های سنت ارومیه تاکنون مطالعه‌ای انجام نشده است و این پژوهش به عنوان نخستین پژوهش در حوزه شناسایی رنگ و رنگ‌آمیزی فرهنگ‌های پیش‌ازتاریخ شمال غرب فلات ایران (آذربایجان) است.

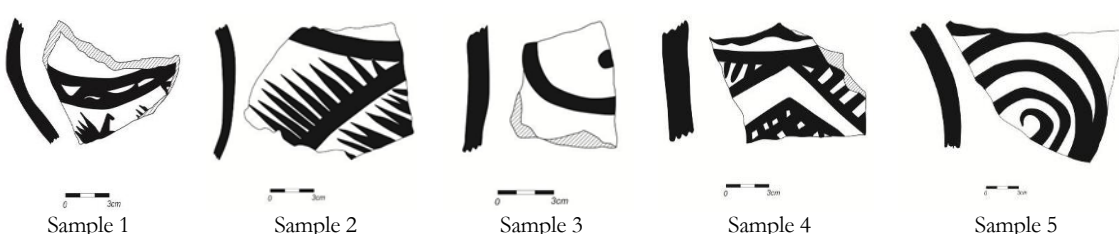
## ۲. مواد و روش‌های مورد مطالعه

در این پژوهش ۵ نمونه از سفالینه‌های نخودی منقوش منسوب به عصر مفرغ متاخر (سنت ارومیه) به دست آمده از بررسی‌های روشمند سطح‌الارضی محوطه کوئل‌تپه عجب‌شیر، جهت بررسی ساختار شیمیایی رنگ‌های به کاررفته، مورد مطالعه قرار گرفتند. این محوطه در شرق دریاچه ارومیه در جوار جنوبی روستای کونی کوئل‌تپه واقع در ۳ کیلومتری جنوب شهرستان عجب‌شیر استان



شکل ۱: نمونه سفال‌های منقوش مورد مطالعه از محوطه کول تپه عجب‌شیر  
Fig; 1: Characteristics of the painted pottery samples from Kul Tepe Ajabshir

جدول ۱: رسم فنی نمونه سفال‌های منقوش مورد مطالعه از محوطه کول تپه عجب‌شیر  
Table 1: Illustrated samples of the painted pottery from Kul Tepe Ajabshir

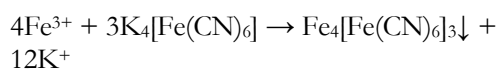


جدول ۲: مشخصات ظاهری نمونه سفال‌های منقوش مورد مطالعه محوطه کول تپه عجب‌شیر

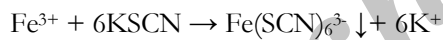
Table 2: Specification appearance painted pottery from Kul Tepe of Ajabshir

شماره نمونه‌ها Sample no.	کد رنگ بدنه Munsell code	رنگ Color		پوشش Coating	ترئینات Decoration	نوع قطعه Sherd type	بستر context	محوطه Site	ضخامت Th. (mm)
		بیرون exterior	درون interior						
1	5YR7/4	نخودی Buff	قرمز Red	دست مرطوب Slip	منقوش painted	گردن neck	سطحی Surface	کول تپه Kul Tepe	9
2	5YR8/3	قرمز Red	قرمز Red	دست مرطوب Slip	منقوش painted	بدنه shred	سطحی Surface	کول تپه Kul Tepe	7
3	5YR8/4	نخودی Buff	قرمز Red	دست مرطوب Slip	منقوش painted	بدنه shred	سطحی Surface	کول تپه Kul Tepe	7
4	5YR7/6	قرمز Red	قرمز Red	دست مرطوب Slip	منقوش painted	لبه edge	سطحی Surface	کول تپه Kul Tepe	8
5	5YR8/4	نخودی Buff	قرمز Red	دست مرطوب Slip	منقوش painted	بدنه shred	سطحی Surface	کول تپه Kul Tepe	9

وجود آهن(III) رسوب آبی پروس تشکیل می‌شود.



۲. معرف تیوسیانات پتاسیم: با افزودن چند قطره معرف ۱/۰ مولار تیوسیانات پتاسیم به نمونه، در صورت وجود آهن(III) رسوب قرمز خونی تشکیل می‌شود[10].



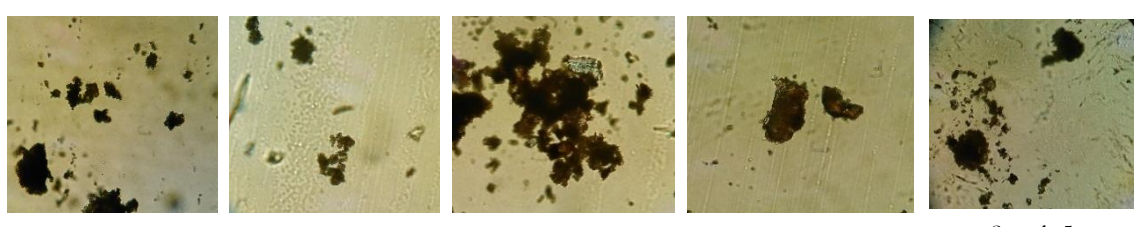
در تمامی نمونه‌ها حضور این دو کاتیون مشاهده شد (جدول ۴-۴)، بنابراین می‌توان گفت که رنگدانه‌ها معدنی (احتمالاً ترکیبی که حاوی آهن و منگز است) است.

شیمیایی جهت شناسایی رنگدانه‌ها است که طی آن‌ها، پس از نمونهبرداری از رنگدانه‌ها، تأثیر شناساگرهای شیمیایی بر روی آن‌ها بررسی می‌گردد. در این مطالعه، پس از نمونهبرداری، نمونه مورد نظر درون لوله آزمایش قرار گرفت و چند قطره اسید کلریدریک غلیظ اضافه [10]، پس از انحلال کامل نمونه، محلول با آب مقطر رقیق گردید. سپس محلول به چند لوله آزمایش دیگر جهت افزودن هریک از معروف‌ها، تقسیم شد. از آنجا که ترکیبات آهن و منگنز فام‌های رنگی زرد تا قهوه‌ای ایجاد می‌کنند این آزمایش‌ها برای شناسایی آهن و منگنز موجود در نمونه‌ها، به قرار زیر انجام شدند.

۱. معرف فروسیانید پتاسیم: با افزودن چند قطره معرف ۱/۰ مولار فروسیانید پتاسیم به نمونه، در صورت

جدول ۳: تصاویر میکروسکوپی رنگدانه‌های قهوه‌ای- سیاه نمونه‌ها (بزرگنمایی ۴۰۰)

Table 3: Microscopic images selected from the painted pottery of black- Brown (Zoom in 400)



Sample 1

Sample 2

Sample 3

Sample 4

Sample 5

جدول ۴: نتایج شناسایی کیفی نمونه‌ها به روش شیمی کلاسیک

Table 4: Results of spot tests on the samples

منگنز Manganese		آهن Iron		کاتیون Cation
هیدروکسید سدیم NaOH	آمونیاک NH <sub>3</sub>	تیوسیانات پتابسیم KSCN	فروسیانید پتابسیم K <sub>4</sub> [Fe(CN) <sub>6</sub> ]	شناسرگر Indicator
+	-	-	+	نمونه ۱ Sample 1
-	+	+	+	نمونه ۲ Sample 2
-	+	+	-	نمونه ۳ Sample 3
+	+	-	+	نمونه ۴ Sample 4
+	+	+	-	نمونه ۵ Sample 5

که پرکاربردترین روش اجرایی این آزمایش شیوه پودری و تهیه قرص است[12] اما در این پژوهش تنها نمونه‌ای که از بدن گرفته شده به شیوه پودری بوده و نمونه‌های ۲ و ۳ به دلیل عدم وجود رنگ کافی جهت تهیه قرص، قطعه‌ای از بدن که حاوی رنگ است جهت انجام آزمایش برداش داده شد. مشخصات کامل دستگاه‌های مورد استفاده در این پژوهش و محل انجام آزمایش در جدول زیر ارائه شده است (جدول ۵-۵). (Table 5-5).

### ۳. نتایج و بحث

#### ۳-۱. آنالیز نمونه‌ها به روش FT-IR

تعیین ساختار رنگ نمونه‌های مورد مطالعه و نیز شناسایی گروه‌های آئیونی موجود در نمونه‌های رنگ توسط دستگاه FT-IR انجام شده است (شکل ۲-۲ Fig; 2-2). با توجه به چگونگی طیف FT-IR می‌توان گفت که نوار نسبتاً پهن و متوسط محدوده  $3400\text{ cm}^{-1}$  مربوط به گروه کششی هیدروکسیل، پیک ضعیف محدوده  $1635\text{ cm}^{-1}$  مربوط به آئیون سولفات، نوار قوی و پهن محدوده  $1100\text{ cm}^{-1}$  -  $1000\text{ cm}^{-1}$  مربوط به گروه سیلیکات (O-Si-O) و پیک‌های نسبتاً قوی محدوده  $460\text{ cm}^{-1}$  و  $600\text{ cm}^{-1}$  مربوط به اکسیدهای آهن هستند [10,13-15] که در تمامی نمونه‌ها تقریباً در همین محدوده‌ها ظاهر شده‌اند. تنها در نمونه‌ی رنگ سفال شماره ۵ که طیف آن در شکل ۳ آمده است، پیک تیزی در محدوده  $1384\text{ cm}^{-1}$  ظاهر شده

در ادامه، برای تکمیل و صحت این نتایج، نمونه‌ها با طیف‌سنج FT-IR مورد بررسی قرار گرفتند. تعیین ساختار و نیز شناسایی گروه‌های آئیونی موجود در نمونه‌های رنگ با استفاده از طیف‌سنج FT-IR متصل به نرم‌افزار Spectra manager صورت گرفت. طیف‌سنجی در محدوده ( $4000-400\text{ cm}^{-1}$ ) با  $10\text{ }\mu\text{m}$  ایام انجام گردید. شیوه آماده‌سازی نمونه در منابع [6,10,11] بدین گونه است که  $1\text{ mg}$  نمونه مورد آزمایش با  $100\text{ mg}$  KBr بر می‌دید پتابسیم (KBr) مخلوط و در یک هاون عقیق ساییده و تحت خلاً تبدیل به قرص شفاف با ضخامت حدود  $1\text{ mm}$  می‌شود که در این تحقیق نیز بر همین اساس انجام گرفت.

جهت شناسایی عناصر رنگدانه‌ها نیز از دستگاه SEM-EDX استفاده شد که طی آن از سطح نمونه‌ها با ولتاژ  $15\text{ KV}$  به مدت  $60$  ثانیه آنالیز اسکن صورت گرفت. جهت آماده‌سازی نمونه‌ها، قطعات کوچکی از بدن سفالینه‌ها به همراه رنگ جدا و بدون دادن پوشش بر روی آن، آنالیز نقطه‌ای انجام شد. این آنالیز در سه نقطه از رنگ سفالینه‌ها و یک نقطه از بدن سفالینه‌ها گرفته شد. درنهایت به منظور تکمیل داده‌ها و بررسی ساختاری رنگدانه‌ها، پراش پرتوایکس (XRD) از سطح نمونه‌های رنگ سفالینه‌ها و بدن با دستگاه فیلیپس با تابش تیوب مس پراش‌سنگی شد. اطلاعات مربوط به فازهای بلوری با نرم‌افزار HighScore X'Pert www.SID.ir

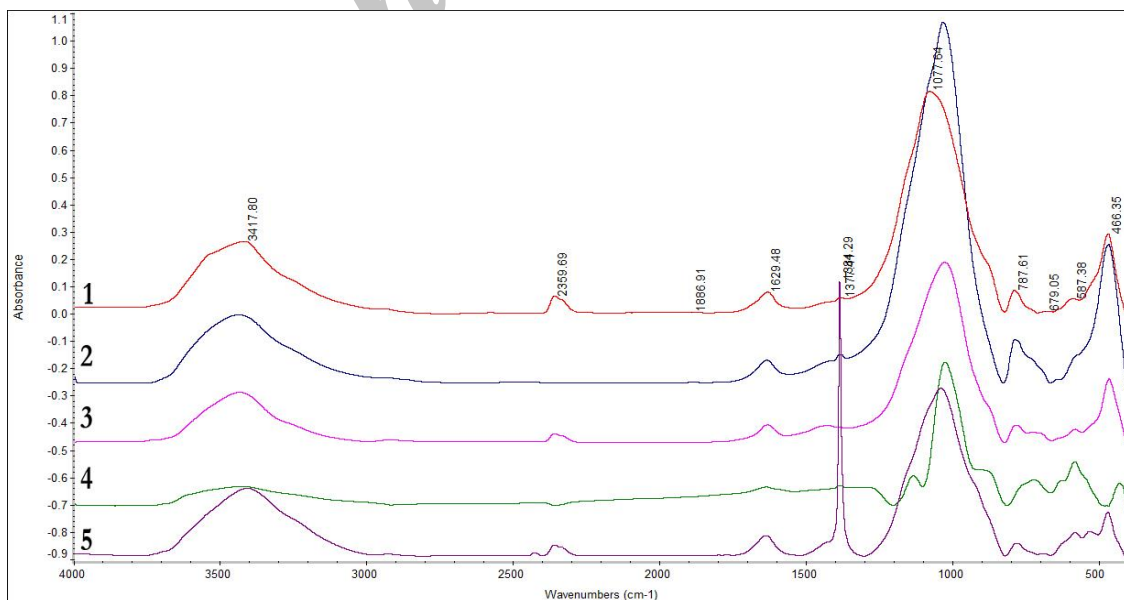
جدول ۵: مشخصات دستگاه‌های مورد استفاده در این پژوهش  
Table 5: Different analytical instruments used at this research

محل انجام آنالیز Analysis in Laboratory	کشور سازنده Made in	مدل دستگاه Model	نوع آزمون Analysis sort
آزمایشگاه شیمی دانشگاه هنر اسلامی تبریز Tabriz Islamic Art University; Chemistry Laboratory.	Olympus, JAPAN	BX51	Polarized Microscopy
آزمایشگاه شیمی دانشگاه هنر اسلامی تبریز Tabriz Islamic Art University; Chemistry Laboratory.	Jasco, JAPAN	FT/IR-680 plus	FT-IR Spectroscopy
آزمایشگاه مرکزی دانشگاه تبریز Tabriz University; Central Laboratory	TSCAN, CZECH Rep.	MIRA3	SEM-EDX
دانشگاه صنعتی سهند Sahand University of Technology	ENGLAND	MV2300	
شرکت کانساران بینالود تهران Tehran; Kansaran Binalud Co.	Philips, NETHERLANDS	PW1800	XRD

بنابراین در این پژوهش این جذب به آئینه سولفات [14] نسبت داده شد.

مشاهدات و مطالعات صورت گرفته از طریق آنالیز FT-IR بر روی نمونه‌های رنگ حاکی از آن است که عامل رنگ در نمونه‌ها اکسیدهای آهن بوده و کانی اصلی بدنه سفال‌ها، کوارتز است، از آنجاکه طیف IR نمونه‌های ۱، ۲ و ۳ مشابه هستند در آنالیزهای بعدی، از بین این سه نمونه، تنها به بررسی نمونه‌ی شماره ۱ پرداخته شد.

که احتمالاً مربوط به گروههای نیترو است که در محدوده  $1390-1300\text{ cm}^{-1}$  ظاهر می‌شوند [16]. از آنجا که این پیک با همین شدت در طیف بدنه این سفال نیز وجود دارد بنابراین می‌توان احتمال داد که مربوط به شووهای نیتراتی بوده که از محیط (خاک) وارد سفال شده است. لازم به ذکر است که محدوده  $1630-1680\text{ cm}^{-1}$  مربوط به گروه کربونیل بوده که با جذب نسبتاً قوی ظاهر می‌شود اما از آنجا که نمونه‌های رنگ سفالینه‌ها معدنی است و در محدوده  $1635\text{ cm}^{-1}$  جذب ضعیفی ظاهر شده،



شکل ۲: طیف FT-IR نمونه‌های رنگ سفالینه‌ها  
Fig. 2: FT-IR spectrum of the potteries colorants

بدنه و کانی آلبیت (فلدیپات سودیک) باشد که یکی از کانی‌های موجود در ساختار سفال است [17,18]. از آنجاکه درصد کلر در رنگ بسیار بالاتر از بدنه است (جدول ۶-۶). بنابراین می‌توان گفت که مربوط به شوره‌های محیطی بوده که ابتدا به لایه رنگ و سپس به بدنه نفوذ کرده است.

طبق نتایج آزمایش‌های SEM-EDX نمونه‌های رنگ و مقایسه آن با درصد ترکیبات بدنه که در جدول ۷ آمده است می‌توان گفت که اکسید آهن یکی از عوامل مؤثر در ایجاد رنگدانه قرمز سفالینه‌ها بوده که در آنالیز EDX رنگدانه قرمز دیوارنگاره «تل مش کریم» که مربوط به دوره مس و سنگ ایران است نیز عنصر آهن به عنوان عامل رنگ قرمز شناخته شد [6]. از آنجاکه اکسیدهای آهن تنالیته رنگی بین قرمز تا قهوه‌ای ایجاد می‌کنند و اکسید منگنز عامل تیرگی [19] و سیاهی رنگ‌ها در نظر گرفته می‌شود، بنابراین می‌توان احتمال داد که عامل روشنی رنگ سفال<sup>۴</sup>، درصد کم اکسید منگنز موجود در ساختار رنگ آن است. همچنین با توجه به درصد زیاد کلر در نمونه‌ی رنگ سفال شماره<sup>۵</sup>، می‌توان پیک تیز محدوده  $1400\text{ cm}^{-1}$  در طیف FT-IR این نمونه را به اکسید کلر نسبت داد (جدول ۷-۷). (Table).

### ۳-۳. آنالیز نمونه‌ها به روش XRD

به منظور شناسایی دقیق ساختار بلورین رنگدانه‌های به کاررفته در تزئین سفالینه‌ها، نمونه‌های رنگ و بدنه به

### ۲-۳. آنالیز نمونه‌ها به روش SEM-EDX

آنالیز عنصری نمونه‌ها در  $3^{\circ}$  نقطه از رنگ و یک نقطه از بدنه نمونه‌ها با میکروسکوپ الکترونی روبشی مجهز به طیف‌سنج پراش پرتوایکس (SEM-EDX) انجام شد. از آنجاکه EDX قادر به شناسایی اکسیدها نیست، درصد اکسیژن گرفته شده طی یک تناسب حذف و به درصد تمامی عناصر افزوده شده و به صورت اکسید ارائه شده است (جدول ۶-۶). بررسی نتایج آنالیز EDX نمونه رنگ سفال ۱ نشان می‌دهد که با توجه به حضور اکسیدهای آهن و منگنز در نمونه به مقدار  $7/53\%$  و  $4/47\%$ ، می‌توان گفت که رنگ به کاررفته در تزئین سفال ترکیبی از اکسید آهن و منگنز است در حالی که اکسیدهای دیگر معمولاً مربوط به ترکیب شیمیایی بدنه سفال است (جدول ۶-۶). همچنین نتایج آنالیز EDX نمونه‌ی رنگ سفال ۴ نشان‌دهنده‌ی آن است که این رنگدانه نیز به دلیل حضور  $5/36\%$  اکسید آهن نسبت به دیگر ترکیبات رنگ‌زا، احتمالاً ترکیبی از آهن است این نتایج با نتایج آنالیز FT-IR نمونه‌ها که اکسیدهای آهن را نشان می‌دهند همخوانی دارد.

بررسی نتایج آنالیز EDX نمونه رنگ سفال ۵ نشان می‌دهد که در اینجا نیز، با توجه به وجود عوامل رنگ‌زایی همچون اکسیدهای آهن و منگنز در نمونه به ترتیب به مقدار  $2/17\%$  و  $1/89\%$ ، رنگ به کاررفته در تزئین سفال ترکیبی از اکسیدهای آهن و منگنز است در حالی که حضور بارز کلر و سدیم می‌تواند به ترتیب مربوط به شوره‌های

جدول ۶: درصد وزنی ترکیبات موجود در رنگ نمونه‌های آنالیز شده به روش EDX

Table 6: Results of colorants sample analyzed by EDX (w %)

Sample no. Oxide name	1	4	5
Na <sub>2</sub> O	1.62	-	23.11
MgO	2.94	1.83	-
Al <sub>2</sub> O <sub>3</sub>	9.74	13.31	2.27
SiO <sub>2</sub>	38.97	47.97	7.42
SO <sub>2</sub>	7.66	4.83	-
K <sub>2</sub> O	5.68	11.31	18.24
CaO	18.56	10.22	2.56
TiO <sub>2</sub>	0.83	-	-
MnO	6.47	1.17	1.89
FeO	7.53	5.36	2.17
ZnO	-	0.43	-
BaO	-	2.97	-
Cl	-	-	42.34

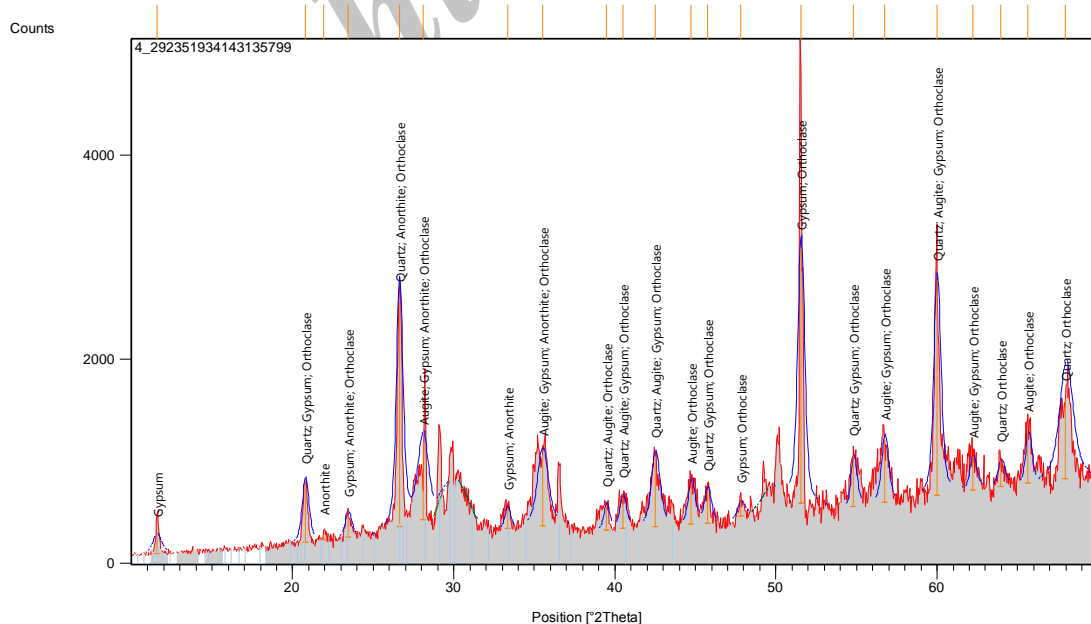
جدول ۷: درصد وزنی ترکیبات موجود در نمونه‌های بدن آنالیز شده به روش EDX

Table 7: Results of body sample analyzed by EDX (%w)

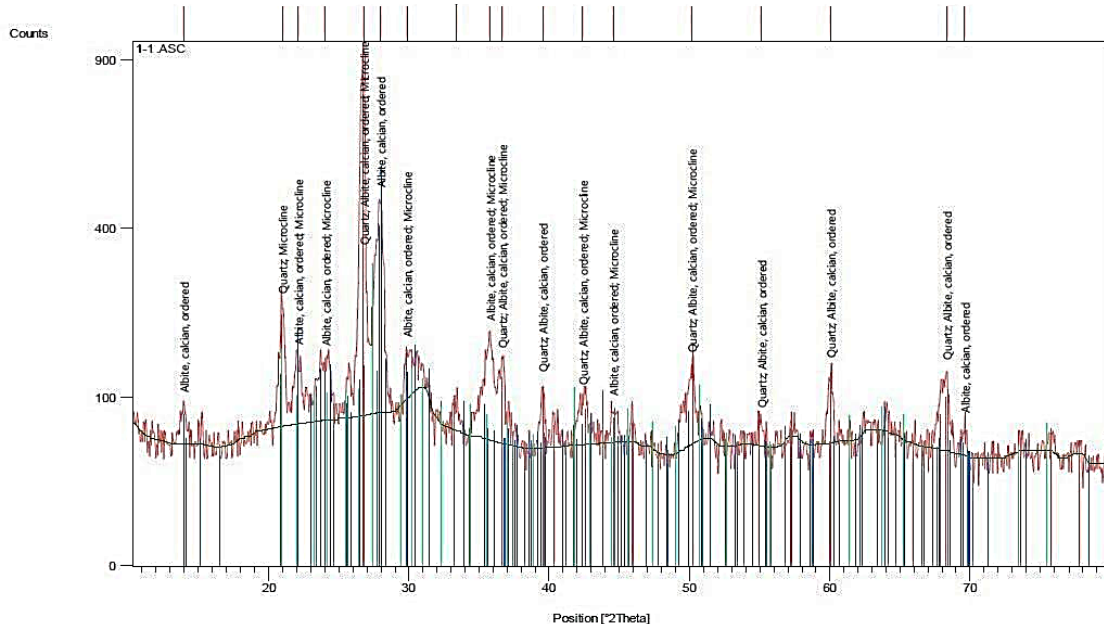
Oxide name \ Sample no.	1	4	5
Na <sub>2</sub> O	0.90	0.00	3.28
MgO	3.34	0.00	6.37
Al <sub>2</sub> O <sub>3</sub>	16.39	14.79	11.75
SiO <sub>2</sub>	57.47	42.98	29.48
SO <sub>2</sub>	1.94	11.63	0.10
K <sub>2</sub> O	5.04	2.47	3.35
CaO	7.67	20.14	16.15
MnO	2.05	4.74	0.98
FeO	2.05	2.92	0.91
Cl	0.43	0.33	3.64
NO	2.72	0.00	23.72

ارتوکلاز، آلبیت و آنوریت ترکیبات تشکیل‌دهنده بدن سفال است [17,18]. چراکه این فازها در نمودار پراش بدن سفال یک نیز ظاهر شده است (شکل ۴-۴). (Fig; 4-4) حضور فاز اوژیت (Ca(Fe,Mg)Si<sub>2</sub>O<sub>6</sub>) در الگوی پراش رنگ که متفاوت از فازهای بدن است می‌تواند به عنوان ترکیب رنگ شناخته شود که این با نتایج حاصل از آنالیز عنصری نمونه به روش EDX نیز همخوانی دارد و نشان می‌دهد که رنگدانه‌ی به کاررفته جهت تزئین سفالینه‌ها، ترکیبی از آهن است.

روش پراش پرتوایکس (XRD) نیز مورد بررسی قرار گرفتند. نمودار حاصل از پراش نمونه‌ی رنگ سفال ۱ (شکل ۳-۳) نشان‌دهنده‌ی حضور فازهای کوارتز، اوژیت، ارتوکلاز، آنوریت و زیپس است (جدول ۸). از آنجاکه اشعه ایکس قدرت نفوذ بالای دارد و لایه رنگ به صورت یک پوشش نازک بر روی بدن سفال کشیده شده است پس می‌توان گفت که علاوه بر رنگ به بدن نیز نفوذ کرده و ترکیباتی که نشان می‌دهد مخلوطی از رنگ و بدن است. بنابراین ترکیبات شیمیایی



شکل ۳: دیاگرام XRD نمونه رنگ سفال ۱  
Fig; 3: XRD diffractogram of pigment of sample no. 1



شکل ۴: دیاگرام XRD بدن سفال ۱  
Fig; 4: XRD diffractogram of body of sample no. 1

نمونه‌ی رنگ سفال ۵ نشان‌دهنده‌ی حضور فازهای کوارتز، اوژیت، ارتوکلاز، آلبیت است. در اینجا نیز حضور فاز اوژیت در الگوی پراش نشان می‌دهد که رنگدانه‌ی به کاررفته جهت تزئین سفال همانند دیگر نمونه‌ها ترکیبی از آهن است (جدول ۸-۸) و به نتایج حاصل از آنالیز عنصری نمونه به روش EDX و طیف FT-IR نمونه تزدیک است.

مشاهدات حاصل از الگوی پراش نمونه‌ی رنگ سفال ۴ نشان‌دهنده حضور کانی‌های کوارتز، آلبیت، اوژیت و ارتوکلاز در نمونه است. فاز اوژیت در الگوی پراش نشان می‌دهد که رنگدانه‌ی به کاررفته جهت تزئین سفال ترکیبی از آهن است که این نتیجه با نتایج حاصل از آنالیز عنصری نمونه به روش EDX و طیف FT-IR آن همخوانی دارد. همچنین، نتایج حاصل از الگوی پراش

جدول ۸: نتایج آنالیز XRD رنگ نمونه‌ها  
Table 8: Results of XRD analysis of the samples colorants

نمونه Sample	1	4	5
فاز شناسایی شده Phases identified			
Quartz(33-1161) $\text{SiO}_2$	+	+	+
Albite(09-0466) $\text{NaAlSi}_3\text{O}_8$	-	+	+
Orthoclase(31-0966) $\text{KAlSi}_3\text{O}_8$	+	+	+
Augite(24-0203) $\text{Ca}(\text{Fe},\text{Mg})\text{Si}_2\text{O}_6$	+	+	+
Analcime(41-1478) $\text{Na}(\text{Si}_2\text{Al})\text{O}_6\text{H}_2\text{O}$	-	+	-
Anorthite(18-1202) $(\text{Ca},\text{Na})(\text{Si},\text{Al})_4\text{O}_8$	+	-	-
Gypsum(33-0311) $\text{CaSO}_4 \cdot 2\text{H}_2\text{O}$	+	-	-

هستند؛ جائیکه رنگدانه سرخ طبیعی زمین بسته به کروموفورهای اکسید آهن و حضور دیگر مواد معدنی می‌تواند تاثیرات های رنگی زرد به سایه‌های قرمز و قهوه‌ای ایجاد کند که این پدیده می‌تواند علت متغیر بودن رنگ ظاهری تزئینات سفالینه‌های مورد مطالعه باشد. در مطالعات بعدی نیز می‌توان به تأثیر حرارت کوره و آتش بر روی رنگدانه‌های مختلف بعد از پخت سفال و سنجش درک سفالگران دوره‌های مختلف در ایجاد رنگدانه‌های متفاوت جهت تزئین سفالینه‌ها، قبل و بعد از پخت، پرداخت.

### سپاسگزاری

این مقاله مستخرج از پایان‌نامه کارشناسی ارشد باستان‌سنجی است که در دانشگاه هنر اسلامی تبریز به سرانجام رسیده است. در همین راستا، نویسنده‌گان بر خود لازم می‌دانند تا از تمامی حمایت‌های مادی و معنوی دانشگاه قدردانی نمایند.

### References

- [1] Franquelo ML, Duran A, Herrera LK, de Haro MCJ, Perez-Rodriguez JL. Comparison between micro-Raman and micro-FTIR spectroscopy techniques for the characterization of pigments from Southern Spain Cultural Heritage. *J Molecular structure* 2009;924:404–12.
- [2] Galván-Ruiz M, Velázquez-Castillo R, Pérez-Lara MA, Arjona JL, Baños L, Rodríguez-García ME. Chemical and physical characterization of stuccos from a mexican colonial building: El museo del calendario of queretaro. *Archaeometry* 2009;51:701–14. doi:<https://doi.org/10.1111/j.1475-4754.2008.00456.x>.
- [3] Akyuz S, Akyuz T, Basaran S, Bolcal C, Gulec A. Analysis of ancient potteries using FT-IR, micro-Raman and EDXRF spectrometry. *Vibrational spectroscopy* 2008;48:276–80.
- [4] Mazzocchin GA, Vianello A, Minghelli S, Rudello D. Analysis of roman wall paintings from the Thermae of “Iulia Concordia”. *Archaeometry* 2010;52:644–55. doi:<https://doi.org/10.1111/j.1475-4754.2009.00501.x>.
- [5] Talai H. Iran iron age. Fourth. Tehran: SAMT; 2013. [in Persian]
- اطلایی حسن. عصر آهن ایران. چاپ چهارم. تهران: انتشارات سمت؛ ۱۳۹۲.
- [6] Harandi D, Taheri MH, Sardari A.

بطور کلی، در مورد مطالعات XRD نمونه‌های رنگ سفالینه‌ها می‌توان گفت که کانی اوژیت به عنوان عامل رنگزا در سفالینه‌ها حضور داشته و بقیه ترکیبات شناسایی شده در این مطالعه، مربوط به ساختار بدنی سفالینه‌ها هستند. وجود فاز اوژیت در رنگ سفالینه‌ها می‌تواند درصد نسبتاً بالای منیزیم موجود در نتایج EDX را نیز توجیه کند.

### ۴. نتیجه‌گیری

بررسی ساختار رنگ‌های به کاررفته در تزئین سفالینه‌های سنت ارومیه کوئل تپه عجب‌شیر به روش‌های مختلف آزمایشگاهی، شامل آزمایش‌های شیمی تر، طیفسنج مادون قرمز تبدیل فوریه (FT-IR)، میکروسکوپ الکترونی رویشی مجهز به طیفسنج پراش انرژی پرتوایکس (EDX) و پراش پرتوایکس (XRD) نشان داد که رنگدانه‌های به کاررفته جهت تزئین تمامی سفالینه‌ها، معدنی و ترکیبی از آهن ( $\text{Ca}(\text{Fe},\text{Mg})\text{Si}_2\text{O}_6$ )

Identification of pigments of Tal-e Mash Karim wall painting at the Chalcolithic site of Iran. *Journal of Color Science and Technology* 2015;9:187–97. [Original in Persian with English Abstract]

[هرندی دانیال، طاهری محمدحسین، سرداری علیرضا.]  
شناختی رنگدانه‌های دیوارنگاره «تل مش کریم»  
سمیرم، مربوط به دوره مس و سنگ ایران. نشریه علمی-پژوهشی علوم و فناوری رنگ ۹۷:۱۳۹۴–۲۹۷. [۳۰۶]

[7] Hajizadeh K, Kazempour M, Abargouei H. Determine the culture of the second millennium BC, northwest Iran. Tehran: Samira; 2012. [in Persian]  
[ حاجیزاده کریم، کاظمپور مهدی، فراش ابرقوئی  
حسین. تعیین فرهنگ هزاره دوم قبل از میلاد  
شمال غرب ایران. تهران: انتشارات سمیرا؛ ۱۳۹۲.]

[8] Edwards MR. The pottery of Haftavan VIB (Urmia ware). *Iran* 1981;19:101–40.

[9] Talai H. Iran Bronze Age. Fifth. Tehran: SAMT; 2012. [in Persian]  
[ طلایی حسن. عصر مفرغ ایران. چاپ پنجم. تهران:  
انتشارات سمت؛ ۱۳۹۱.]

[10] Stuart BH. Analytical techniques in materials

- conservation. John Wiley & Sons; 2007.
- [11] Casadio F, Chiari G, Simon S. Evaluation of binder/aggregate ratios in archaeological lime mortars with carbonate aggregate: A comparative assessment of chemical, mechanical and microscopic approaches. *Archaeometry* 2005;47:671–89. doi:<https://doi.org/10.1111/j.1475-4754.2005.00226.x>.
- [12] Skoog D, Holler F, Nieman T. Principles of instrumental analysis. Philadelphia: Saunders College Pub; 1998.
- [13] Edreira MC, Feliu MJ, Fernández-Lorenzo C, Martín J. Roman wall paintings characterization from Cripta del Museo and Alcazaba in Mérida (Spain): chromatic, energy dispersive X-ray fluorescence spectroscopic, X-ray diffraction and Fourier transform infrared spectroscopic analysis. *Analytica Chimica Acta* 2001;434:331–45.
- [14] Mazzocchin GA, Agnoli F, Colpo I. Investigation of roman age pigments found on pottery fragments. *Analytica Chimica Acta* 2003;478:147–61.
- [15] Darchuk L, Tsybrii Z, Worobiec A, Vázquez C, Palacios OM, Stefaniak EA, et al. Argentinean prehistoric pigments' study by combined SEM/EDX and molecular spectroscopy. *Spectrochimica Acta Part A: Molecular and Biomolecular Spectroscopy* 2010;75:1398–402.
- [16] Pavia D, Lampman G, Kriz G. Introduction to spectros copy. Cengage Learning; 2008.
- [17] Sharveh A, Anvshfr M. Glaze ceramic tiles. Third. Tehran: Gothenburg; 1999. [in Persian]  
[شروع، انوشه‌فر م. لعاب کاشی سفال. چاپ سوم، تهران: انتشارات گوتنبرگ؛ ۱۳۷۸].
- [18] Emami M, Trettin R. Mineralogical and chemical investigations on the ceramic technology in Čogā Zanbil,(Iran, 1250 BC). *Periodico di Mineralogia Vol. 81, 3 dicembre 2012:359.*
- [19] Hradil D, Grygar T, Hradilová J, Bezdička P. Clay and iron oxide pigments in the history of painting. *Applied Clay Science* 2003;22:223–36.